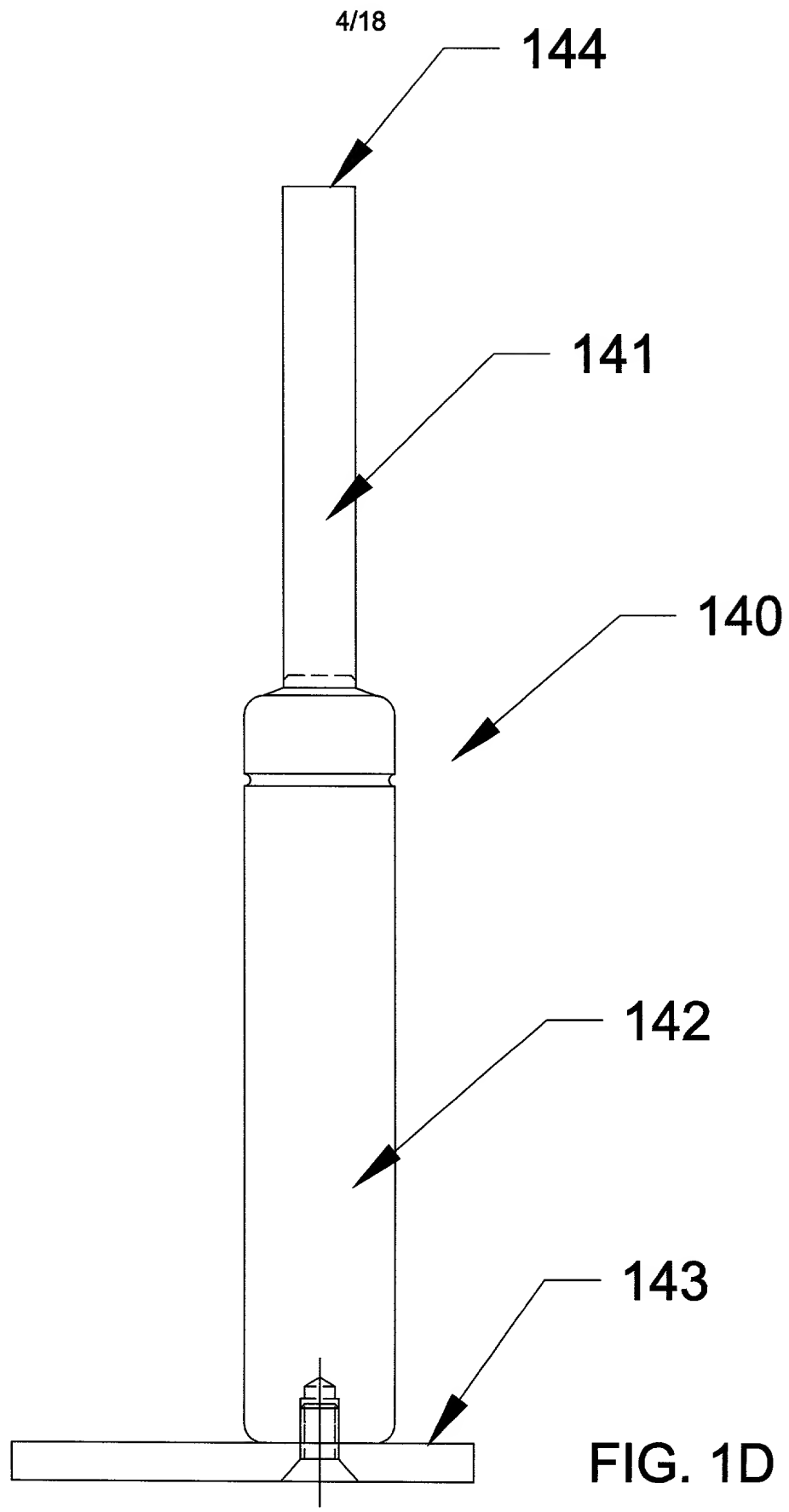


FIG. 1C



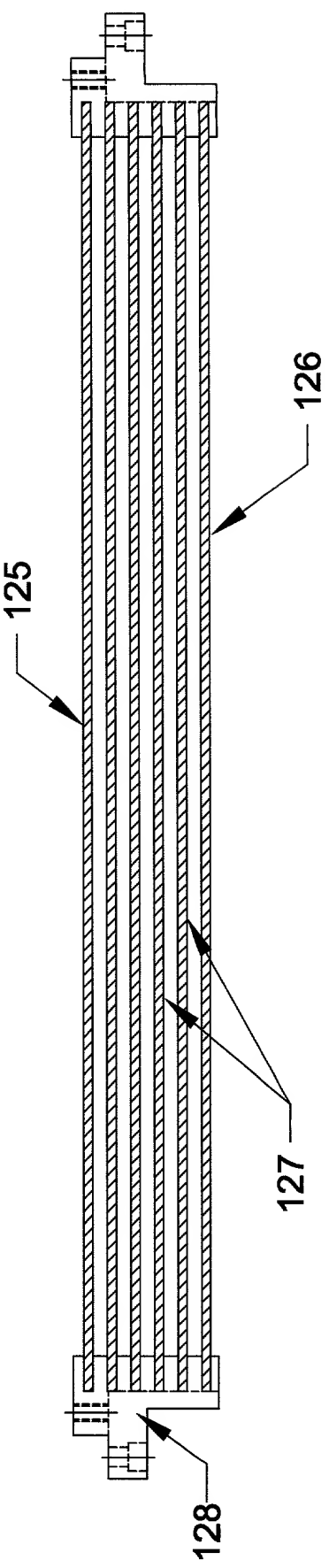
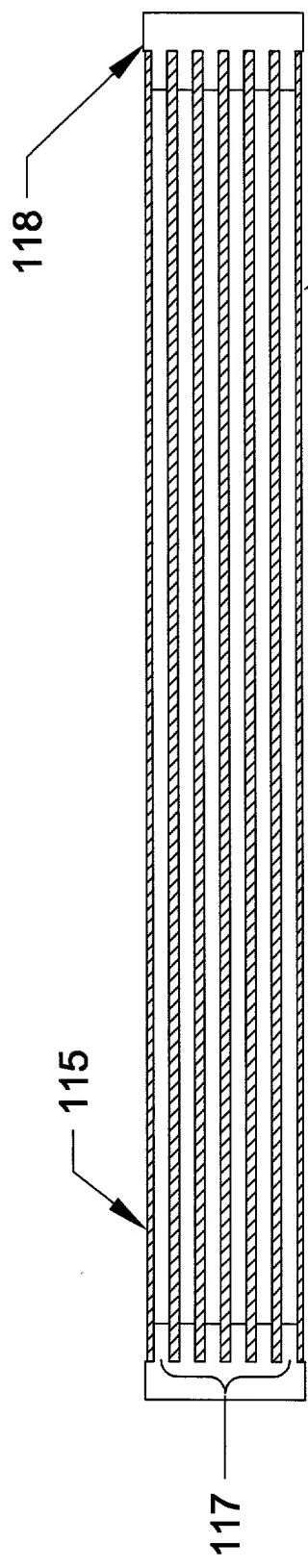


FIG. 1F

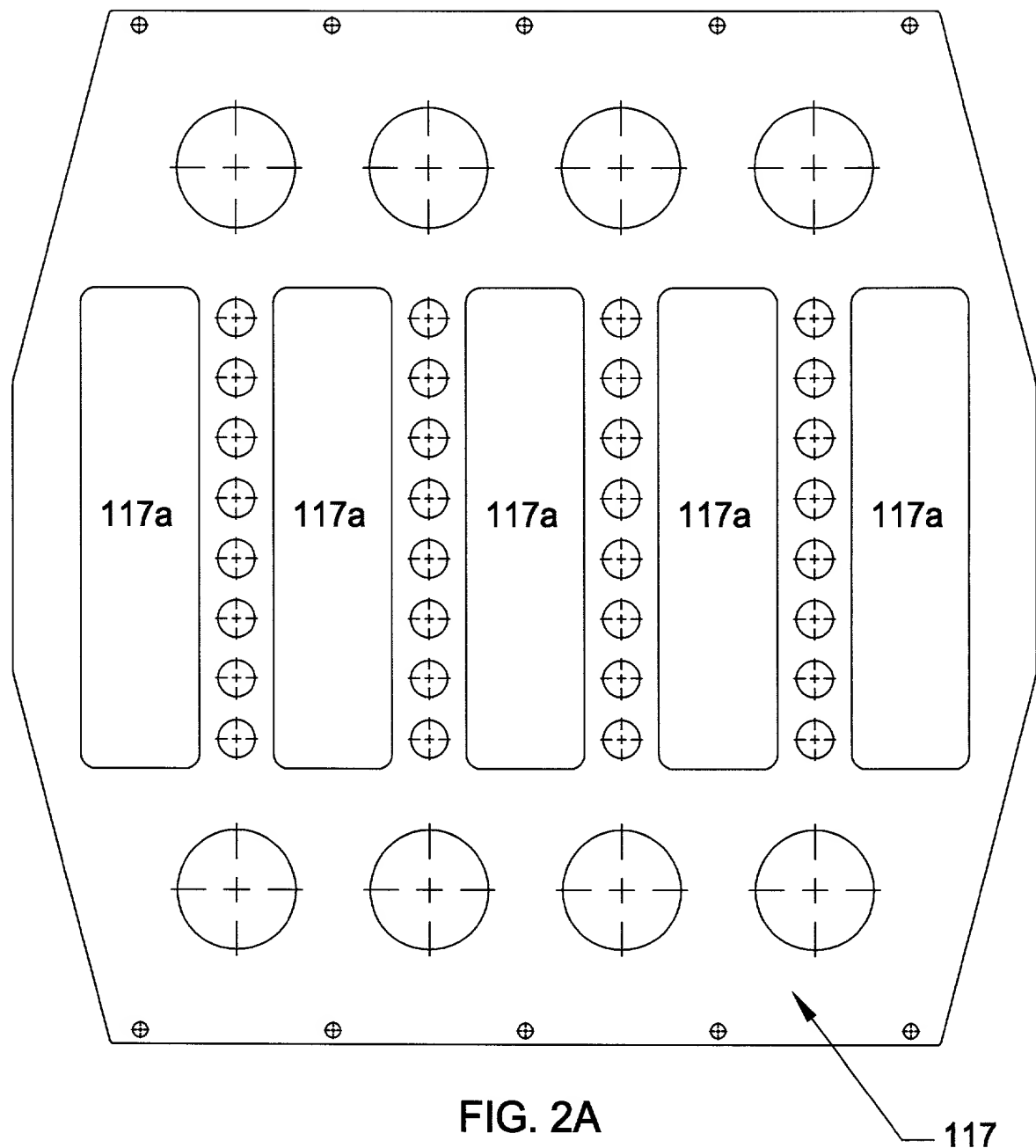


FIG. 2A

117

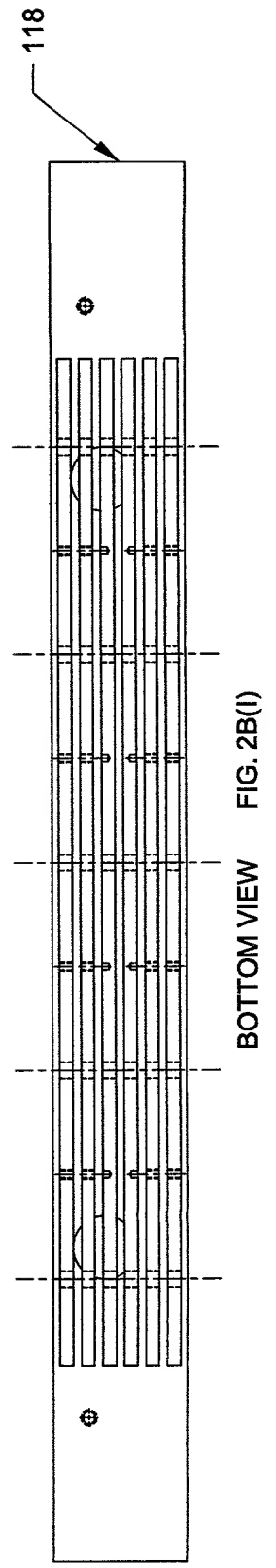
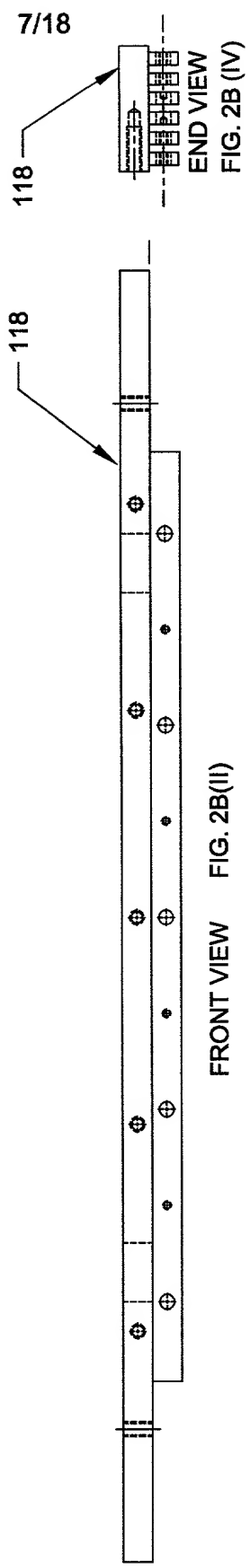
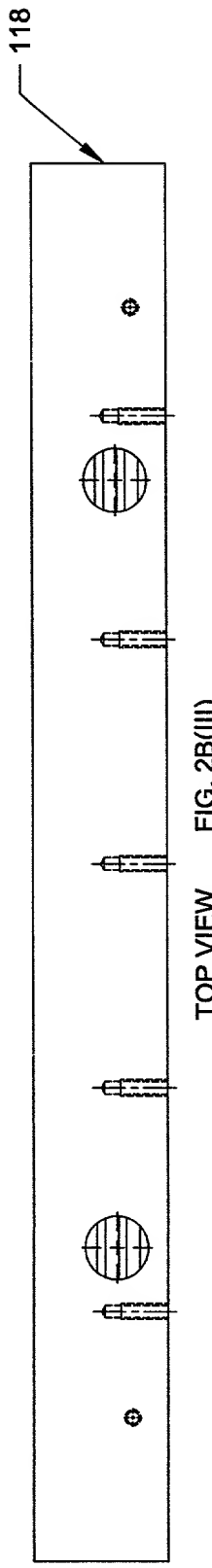


FIG. 2B

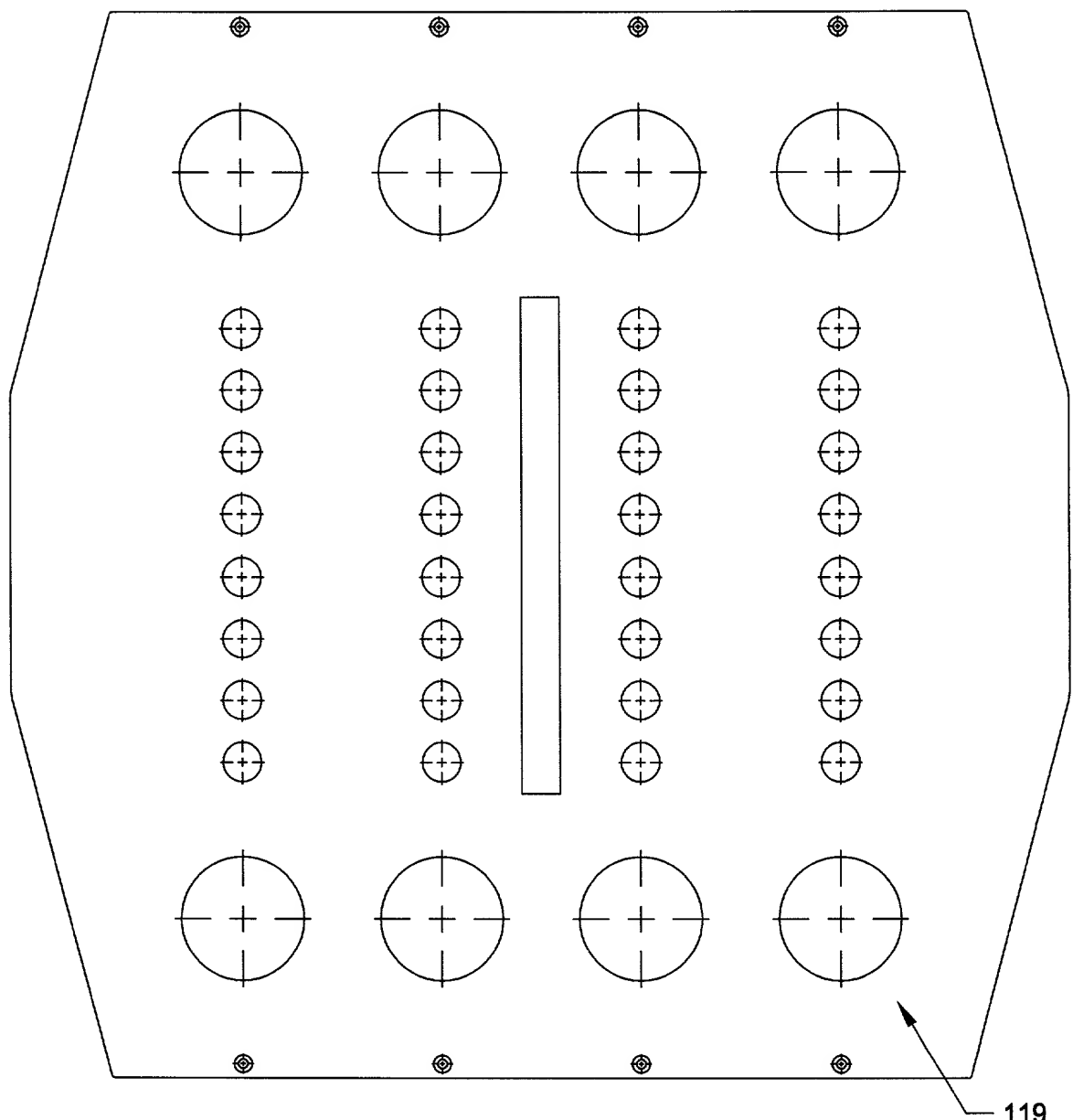


FIG. 2C

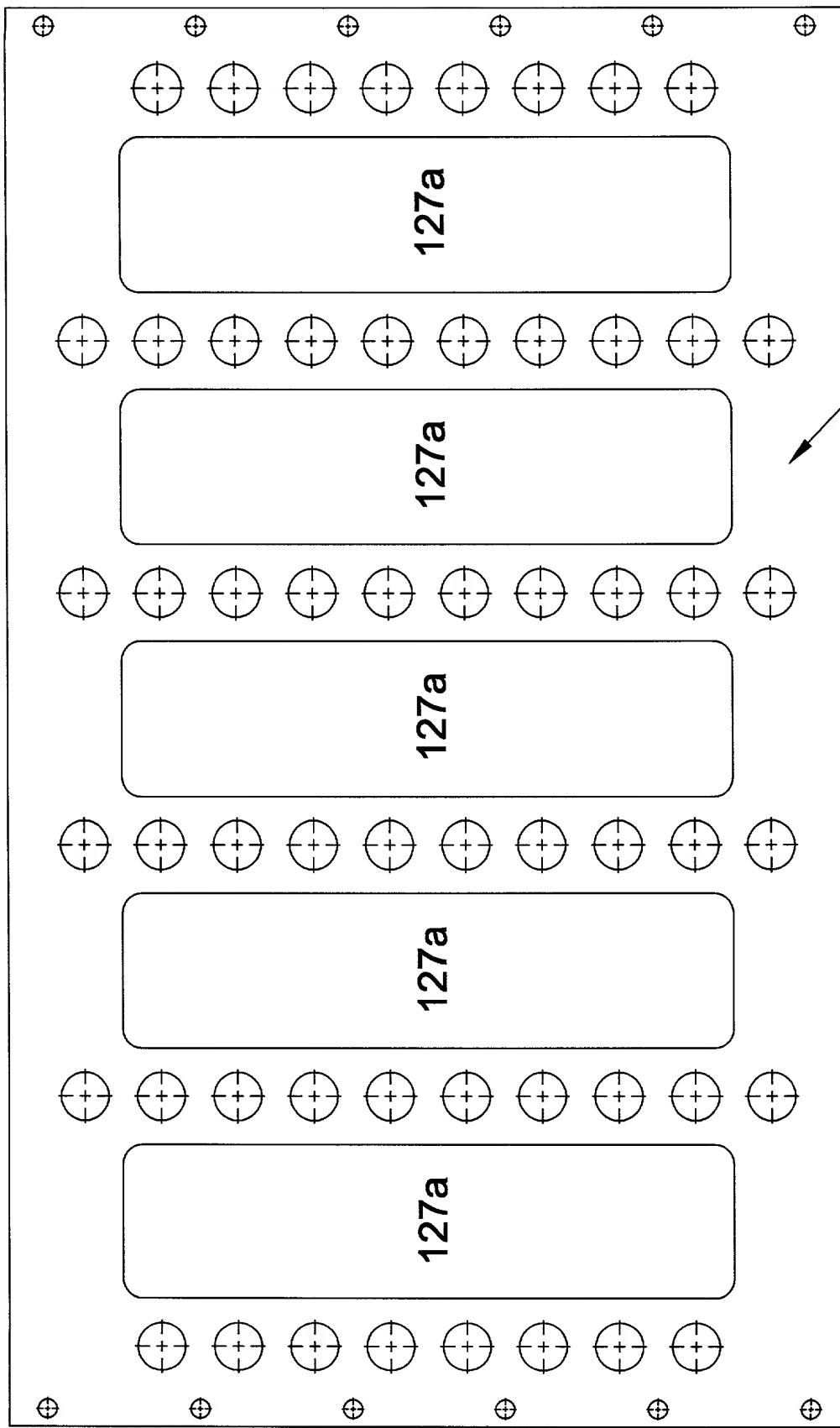
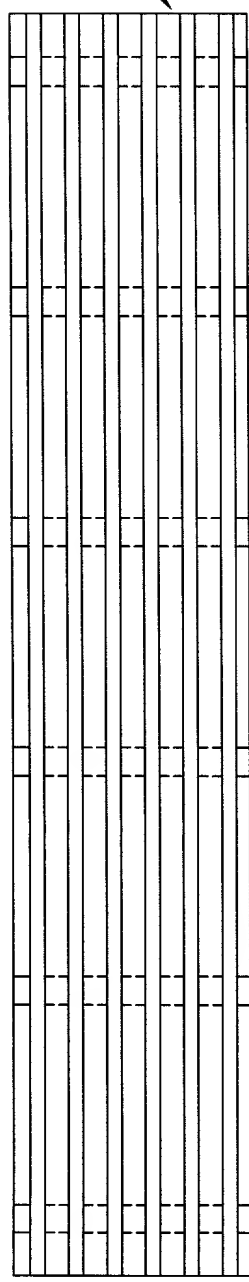


FIG. 3A

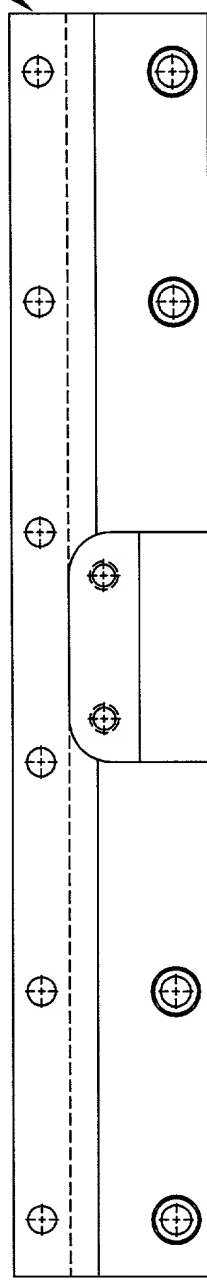
127

10/18 2020 03:22:50



TOP VIEW FIG. 3B(III)

128



FRONT VIEW FIG. 3B(II)

END VIEW
FIG.3B(IV)

128

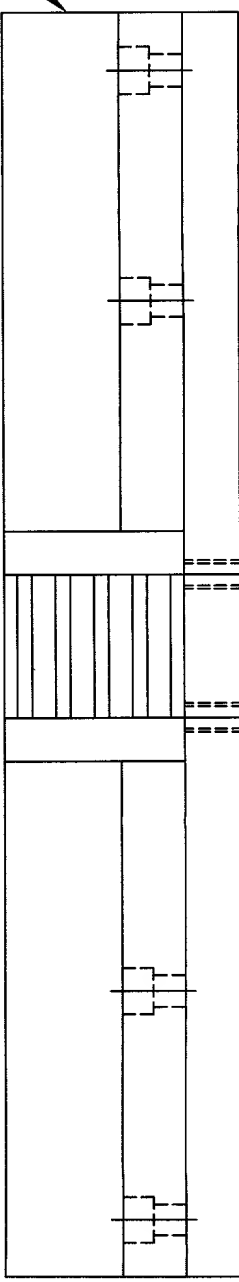


FIG. 3B

10/18

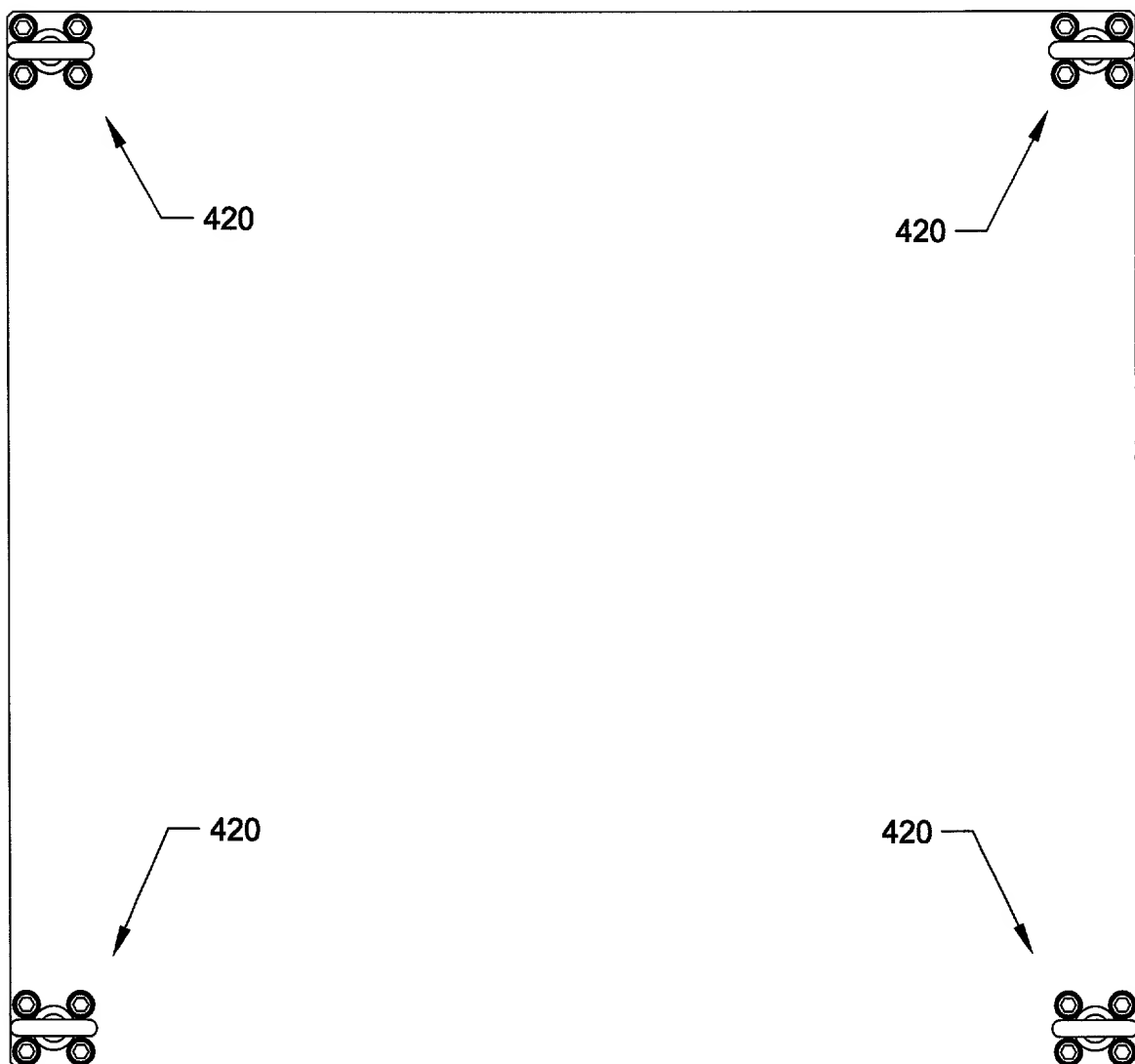
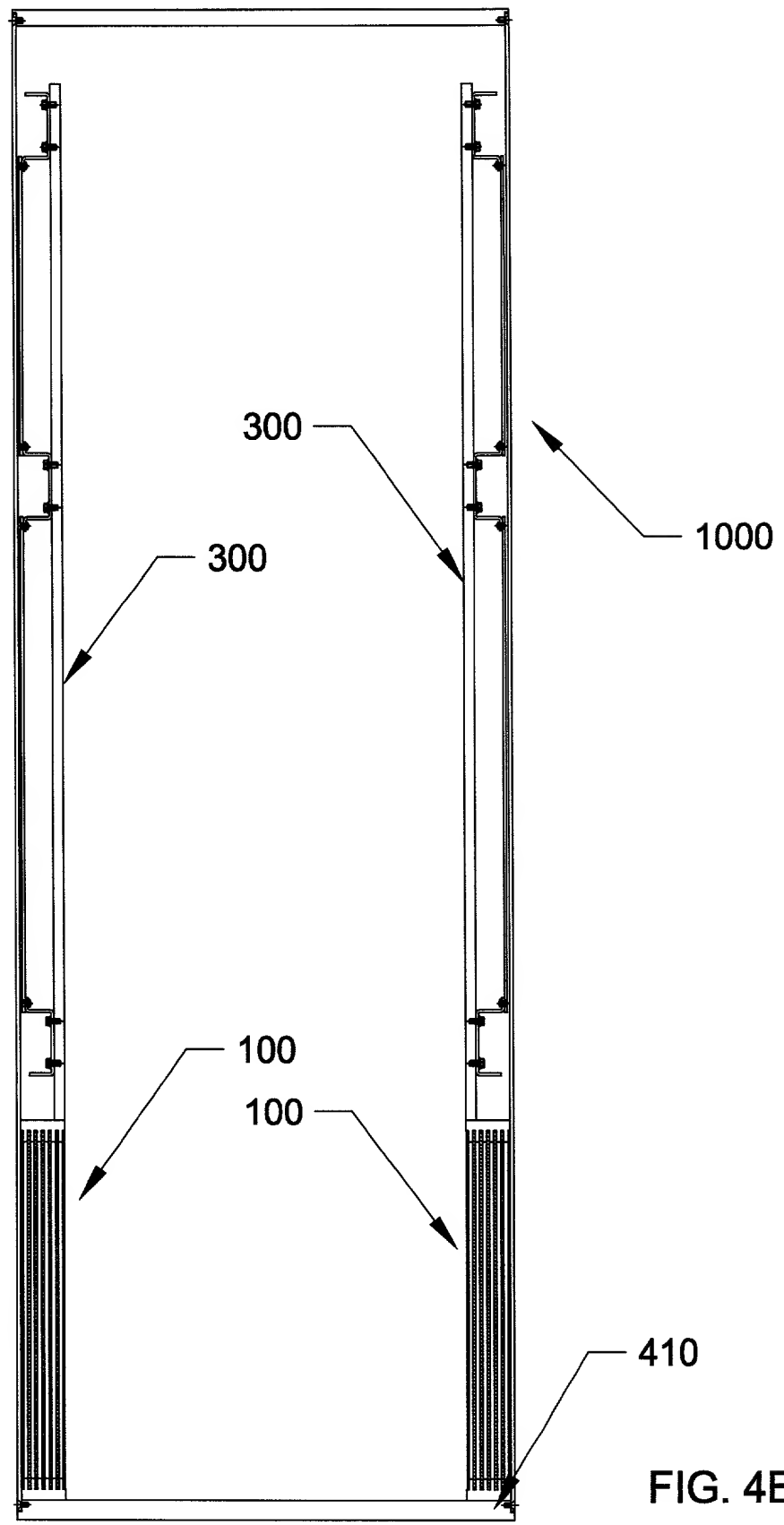


FIG. 4A



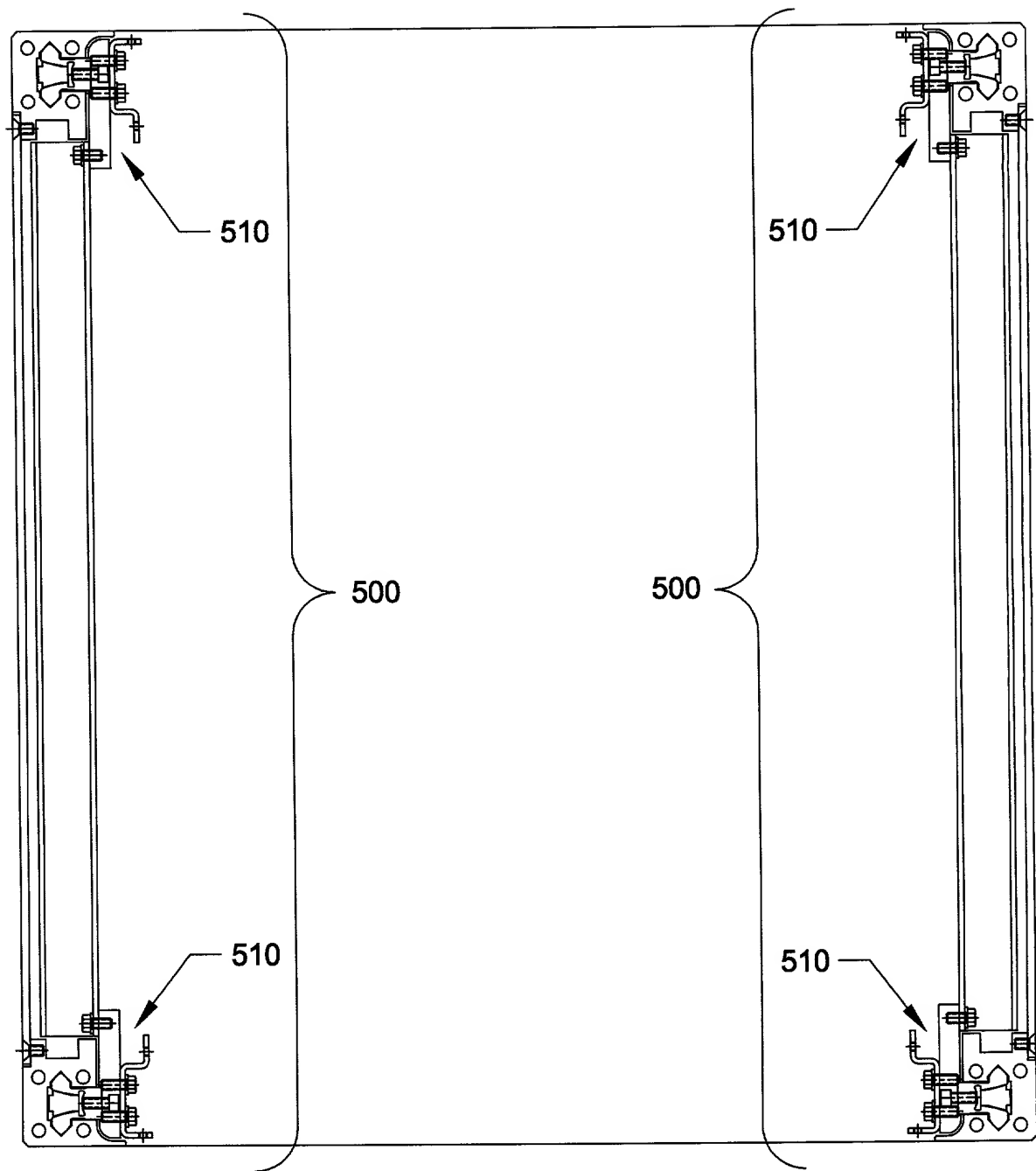


FIG. 4C

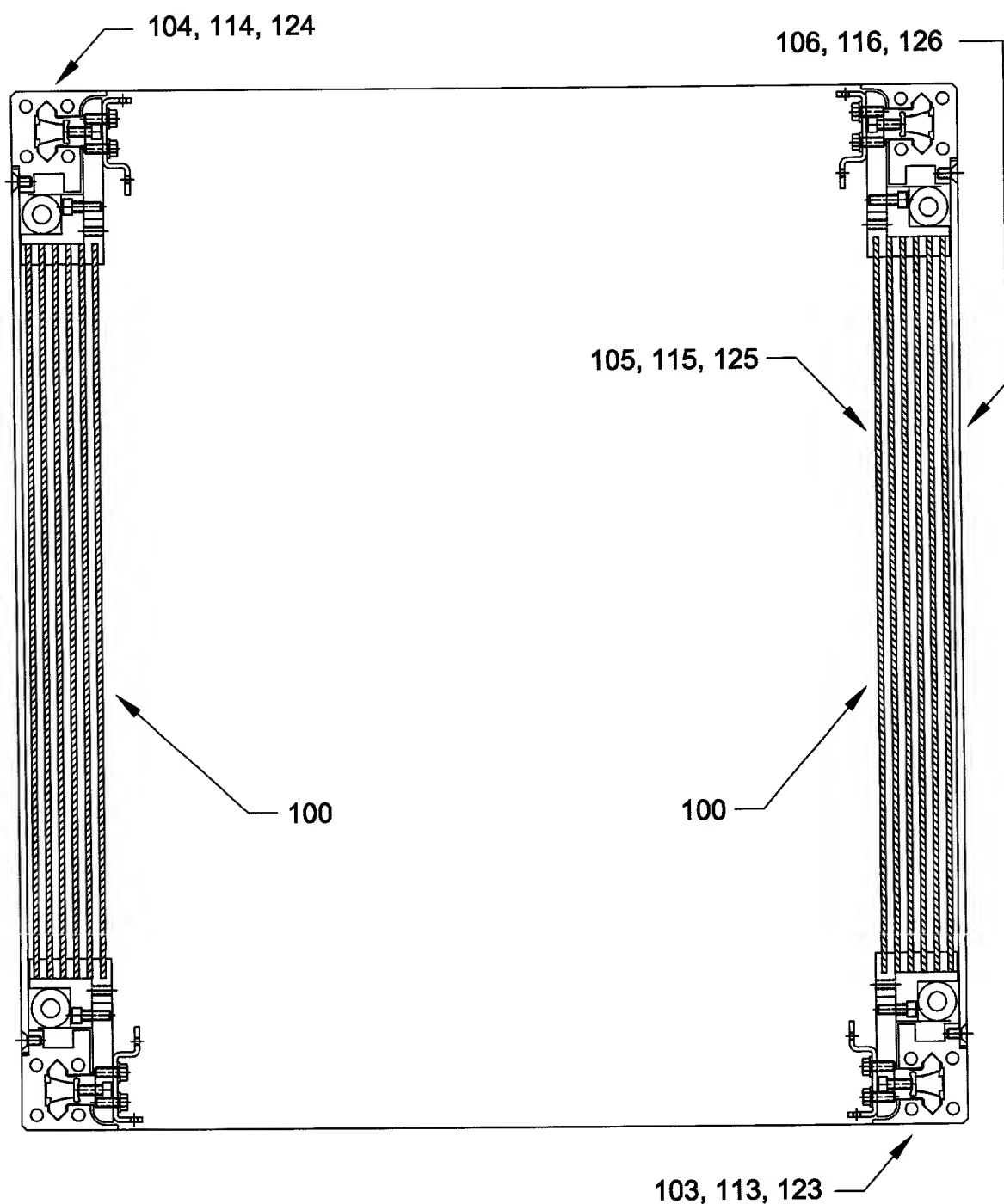


FIG. 4D

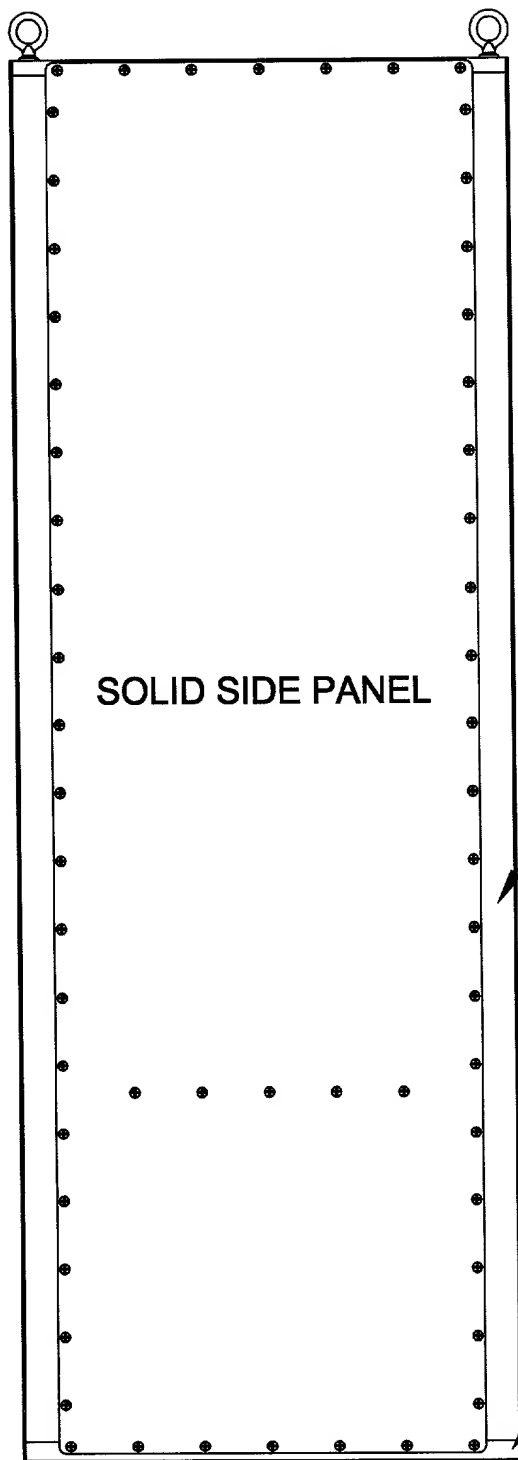


FIG. 4E

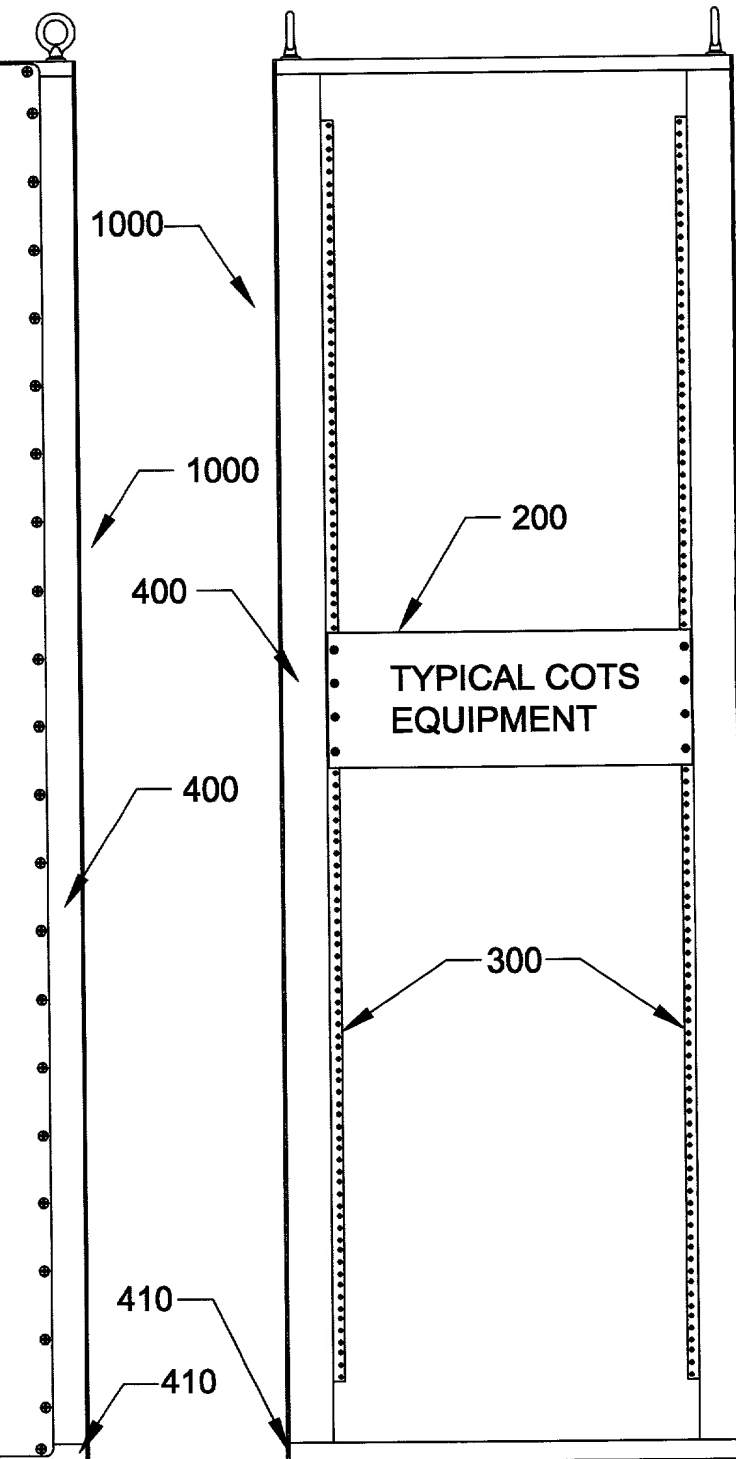


FIG. 4F

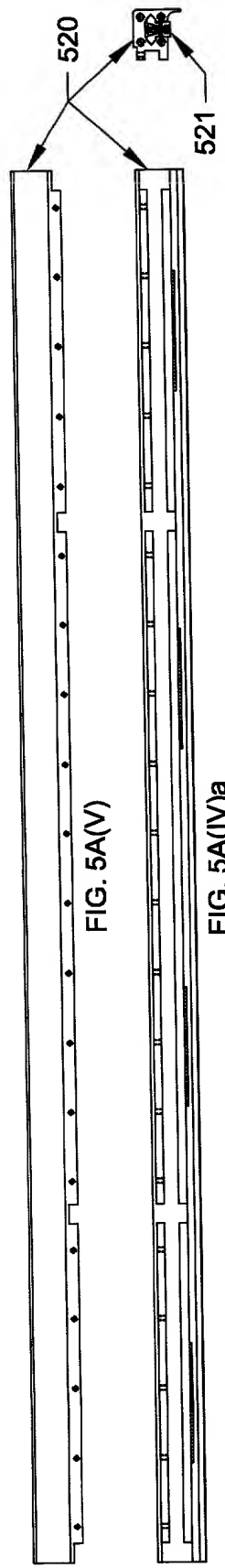


FIG. 5A(IV)a

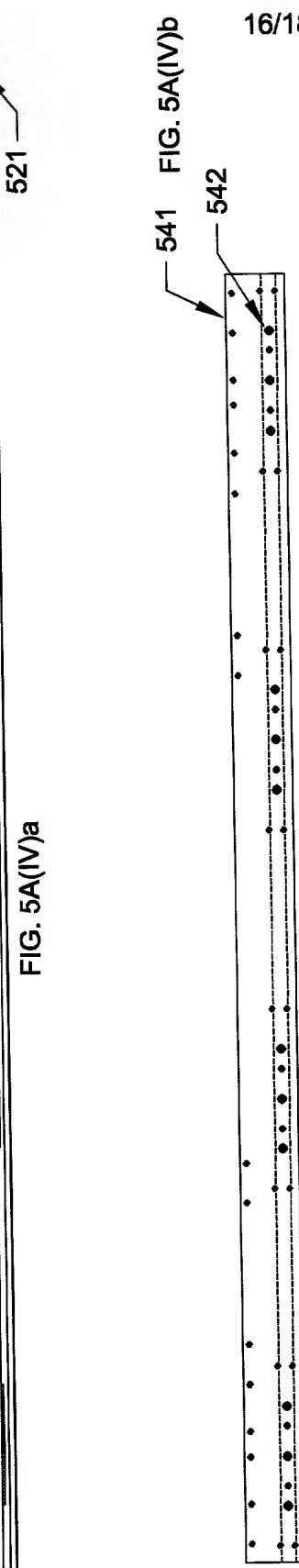


FIG. 5A(IV)b



FIG. 5A(III)

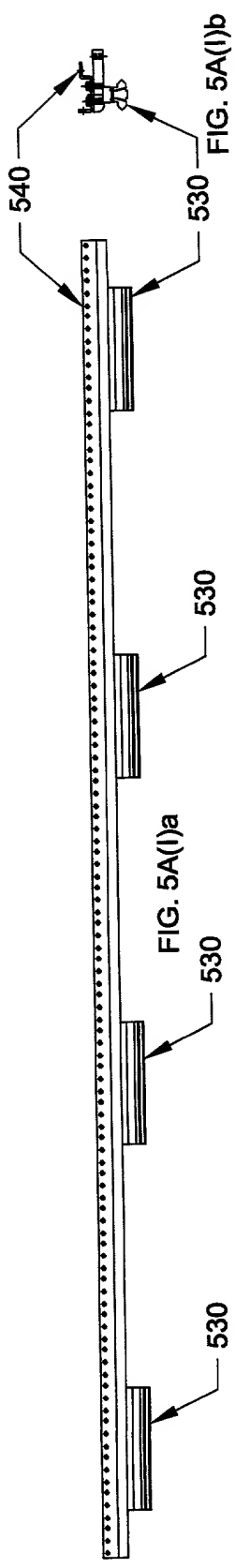


FIG. 5A(II)a

FIG. 5A(II)b

FIG. 5A

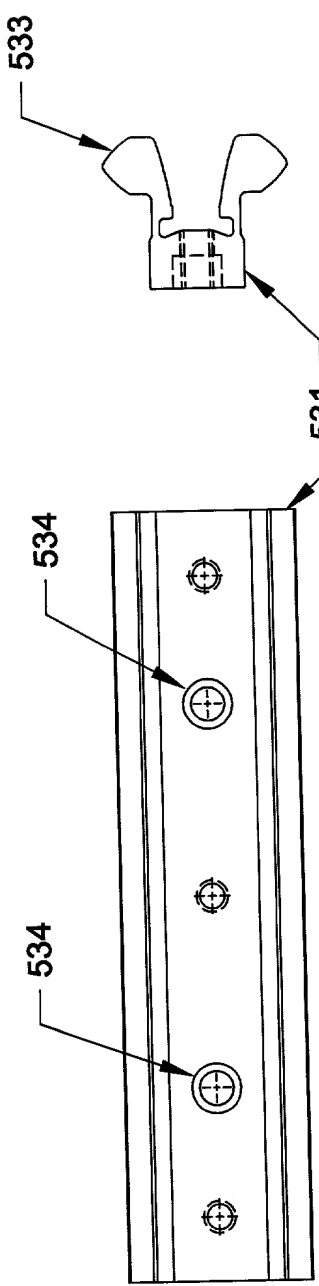


FIG. 5C
531
530

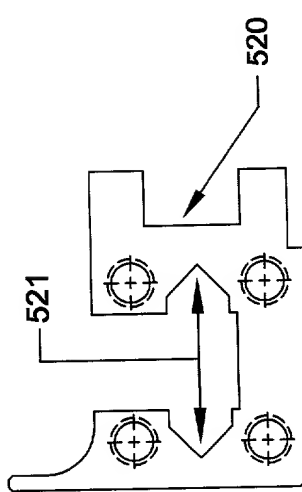


FIG. 5B
521
520

17/18

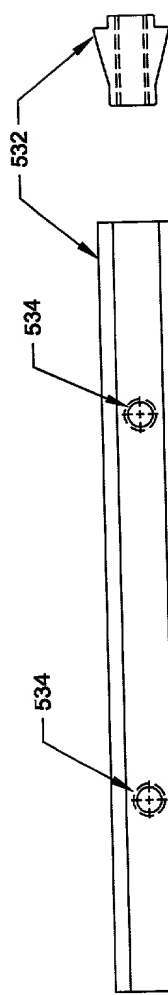


FIG. 5H
532
534

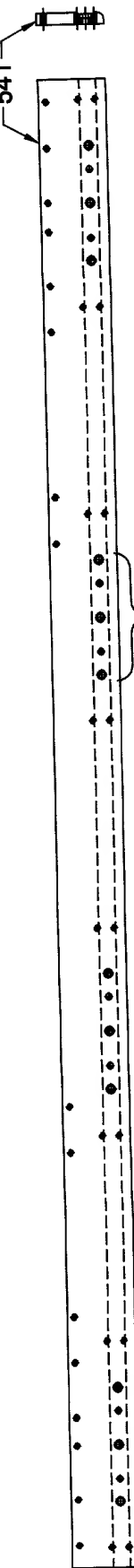


FIG. 5E
541
542

FIG. 5F

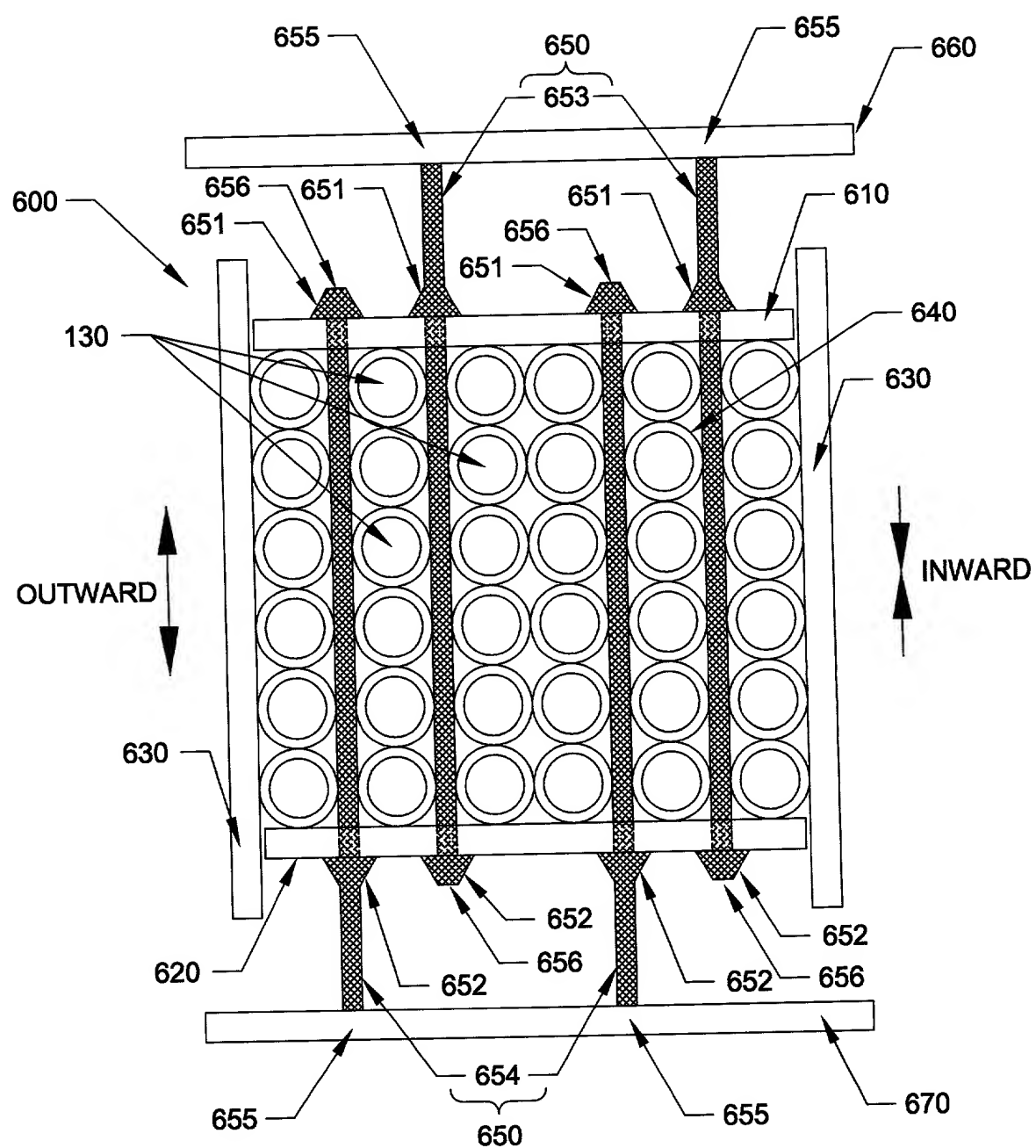


FIG. 6